

* استفاده از تکه‌بندی ماتریسی و پردازش سیستولیکی برای شناسایی رادارها

علی ناصری^(۱) مجید نادری^(۲) هادی شهریار شاه حسینی^(۳)

چکیده دو پارامتر سرعت و دقت در انجام عملیات شناسایی رادارها توسط گیرنده‌های هشدار راداری بلادرنگ (Electronic Support Measure - ESM) همواره مورد توجه پژوهشگران بوده است. بدین منظور در این مقاله پردازنده آرایه‌ای طراحی می‌گردد که قادر است بصورت بلادرنگ و با دقتی بسیار بالا نوع تکنیک بکار رفته در تولید رشته پالس رادارها را شناسایی نماید. برای دستیابی به این پردازنده در آغاز الگوریتمی ماتریسی برای شناسایی تکنیکها پیشنهاد می‌گردد و سپس با روشی که ضرب‌کننده سیستولیکی زیرماتریسهای همگن یا (Homogeneous Submatrix Systolic Multiplier) نامگذاری شده، طراحی پردازنده آرایه‌ای انجام می‌شود. نتایج مدلسازی و شبیه‌سازی انجام شده کارایی و بلادرنگ عمل نمودن پردازنده یاد شده را تایید می‌نماید.

واژه‌های کلیدی شناسایی رادار، پردازش موازی، آرایه سیستولیک، عملیات ماتریسی، اقدامات پشتیبانی ال‌ترون، تکه‌بندی ماتریسی.

Radar Identification by Parallel Systolic Processing and Matrix Clustering

A. Naseri

M. Naderi

H. S. Shahhoseini

Abstract To identify different radar techniques, a matrix algorithm is proposed in this paper. A systolic array is designed to do the algorithm in real time manner. Homogeneous Submatrix Systolic multiplier (HSSM) method has been used in this design. Modeling and simulation results show the processor could effectively identify different radar techniques.

Key Words Radar Identification, Parallel Processing, Systolic Array, Matrix Operation, Electronic Support Measure, Matrix Clustering.

* نسخه اولیه مقاله در تاریخ ۸۱/۳/۱۸ و نسخه نهایی آن در تاریخ ۸۲/۲/۸ به دفتر نشریه رسیده است.

(۱) دانشجوی دکتری، دانشگاه علم و صنعت ایران، دانشکده مهندسی برق

(۲) دانشیار، دانشگاه علم و صنعت ایران، دانشکده مهندسی برق

(۳) استادیار، دانشگاه علم و صنعت ایران، دانشکده مهندسی برق

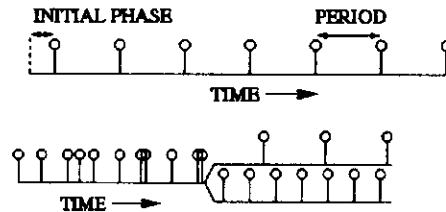
استفاده از فیلتر کالمن توسعه یافته [3]، روش استفاده از الگوریتم ترکیبی مدل مخفی مارکوف و مدل سری زمانی باینری [4]، روش های استفاده از تبدیل فوریه و تبدیل فوریه اصلاح شده [5]، روش استفاده از الگوریتم اقلیدسی اصلاح شده [6] روش استفاده از تبدیل هاج (Hough Transform) [7]، روش استفاده از مدل دینامیکی - خطی [8] و روش های هیستوگرام تفاضلی [9-10] را نام برد. این الگوریتم ها دارای عملیات متوالی و یا غیر موازی می باشند بنابراین در شناسایی بلادرنگ همواره دچار مشکل بوده اند. در این مقاله روشی بر مبنای عملیات ماتریسی برای شناسایی رشته پالس خوشه ارائه شده که افزون بر قابلیت موازی سازی، دقت بسیار خوبی نیز بدست می دهد. بعد از ارائه روش پیشنهادی، پردازنده آرایه ای بر اساس ضرب کننده سیستولیکی زیر ماتریس های همگن، برای انجام محاسبات آن طراحی می گردد.

روش پیشنهادی برای شناسایی رشته پالس و اصول بنیادی آن

شناسایی رشته پالس به منظور تشخیص نوع تکنیک بکار رفته در فاصله تکرار پالس آن (فاصله تکرار پالس ثابت (Constant Pulse Repetition Interval)، فاصله تکرار پالس استگر (Stagger Pulse Repetition Interval) و فاصله تکرار پالس جیتر (Jitter Pulse Repetition Interval) و استخراج مقدار یا متوسط مقدار آن انجام می گیرد. در این بخش یک روش ماتریسی برای شناسایی رشته پالس خوشه ارائه می شود که در بخش بعد طراحی پردازنده آرایه ای برای انجام عملیات آن به تفصیل خواهد آمد. شکل (۲) دیاگرام مرحله ای روش پیشنهادی را نشان می دهد. در این شکل ΔTOA ماتریس اختلاف زمان ورود پالس ها و PTI ماتریس شناسایی رشته پالس (Pulse Train Identification) می باشد (روابط ۱ و ۲).

مقدمه

گیرنده ESM وظیفه شناسایی رادارها را به صورت بلادرنگ بر عهده دارد [1]. ورودی این گیرنده پالس های متداخل دریافتی از رادارهای منطقه تحت پوشش خود می باشد. شکل (۱) یک رشته پالس تکی و دو رشته پالس که با هم یک رشته پالس متداخل می سازند را نشان می دهد.



شکل ۱ رشته پالس تکی و رشته پالس متداخل

گیرنده ESM با دو بخش خوشه بندی و شناسایی، رادارهای فعال موجود در محدوده عملکرد خود را شناسایی می کند. هدف از خوشه بندی جدا نمودن رشته پالس های متداخل دریافتی از یکدیگر است به صورتی که رشته پالس هر خوشه مربوط به یک رادار خاص باشد. بعد از عمل خوشه بندی بایستی رشته پالس موجود در هر خوشه و یا به عبارت دیگر، رادار ارسال کننده رشته پالس خوشه، شناسایی گردد این وظیفه مهم به عهده بخش شناسایی سیستم ESM می باشد. عمل خوشه بندی همزمان با دریافت رشته پالس ها انجام می گیرد بنابراین زمان آن در کل زمان عملکرد سیستم تاثیر چندانی ندارد [1] و از این رو تسریع در انجام عملیات شناسایی رشته پالس در بلادرنگ عمل نمودن سیستم تاثیر بسزائی دارد. به همین دلیل پژوهشگران سیستم های ESM همواره سعی در ارائه روش هایی سریع برای شناسایی تکنیک های رادار داشته و دارند. روش های زیادی در گذشته بدین منظور ارائه شده است که از مهمترین آنها می توان روش NASH [2]، روش

تمام عناصر قطر اصلی ماتریس بالا با هم برابر می‌باشند. بنابراین مطابق شکل (۲) ماتریس یاد شده بیانگر رشته پالس از نوع فاصله تکرار پالس ثابت است. مثال (۲) نتایج شبیه سازی با نرم افزار MATLAB نشان می‌دهد برای رشته پالس با نسبت فاصله تکرار پالس های ۵:۲ و تعداد پالس ۷ ماتریس شناسائی رشته پالس به صورت زیر است.

$$PTI = \begin{bmatrix} 4.25 & -1.5 & 1.5 & -1.5 & 1.5 & -1.5 & 0.75 \\ -0.75 & 3.5 & 1.5 & -1.5 & 1.5 & -1.5 & 0.75 \\ -0.75 & 1.5 & 3.5 & -1.5 & 1.5 & -1.5 & 0.75 \\ -0.75 & 1.5 & -1.5 & 3.5 & 1.5 & -1.5 & 0.75 \\ -0.75 & 1.5 & -1.5 & 1.5 & 3.5 & -1.5 & 0.75 \\ -0.75 & 1.5 & -1.5 & 1.5 & -1.5 & 3.5 & 0.75 \\ -0.75 & 1.5 & -1.5 & 1.5 & -1.5 & 1.5 & 2.75 \end{bmatrix}$$

همانطور که در ماتریس بالا دیده می‌شود عناصر قطر اصلی بجز عناصر اول و آخر آن، با هم برابر می‌باشند پس مطابق شکل (۲) ماتریس یاد شده بیانگر رشته پالس استگر از درجه دو خواهد بود.

مثال (۳) نتایج شبیه سازی با نرم افزار MATLAB نشان می‌دهد برای رشته پالس از نوع استگر با نسبت فاصله تکرار پالس های ۹.۷:۱:۰.۵ و تعداد پالس ۱۲ ماتریس شناسائی رشته پالس به صورت زیر است.

$$PTI = \begin{bmatrix} 7.2727 & -1 & -3 & 2 & 2 & -1 & -3 & 2 & 2 & -1 & -3 & 2.2727 \\ -1.7273 & 8 & -3 & 2 & 2 & -1 & -3 & 2 & 2 & -1 & -3 & 2.2727 \\ -1.7273 & 1 & 4 & 2 & 2 & -1 & -3 & 2 & 2 & -1 & -3 & 2.2727 \\ -1.7273 & 1 & 3 & 3 & 2 & -1 & -3 & 2 & 2 & -1 & -3 & 2.2727 \\ -1.7273 & 1 & 3 & -2 & 7 & -1 & -3 & 2 & 2 & -1 & -3 & 2.2727 \\ -1.7273 & 1 & 3 & -2 & -2 & 8 & -3 & 2 & 2 & -1 & -3 & 2.2727 \\ -1.7273 & 1 & 3 & -2 & -2 & 1 & 4 & 2 & 2 & -1 & -3 & 2.2727 \\ -1.7273 & 1 & 3 & -2 & -2 & 1 & 3 & 3 & 2 & -1 & -3 & 2.2727 \\ -1.7273 & 1 & 3 & -2 & -2 & 1 & 3 & -2 & 7 & -1 & -3 & 2.2727 \\ -1.7273 & 1 & 3 & -2 & -2 & 1 & 3 & -2 & -2 & 8 & -3 & 2.2727 \\ -1.7273 & 1 & 3 & -2 & -2 & 1 & 3 & -2 & -2 & 1 & 4 & 2.2727 \\ -1.7273 & 1 & 3 & -2 & -2 & 1 & 3 & -2 & -2 & 1 & 3 & 3.2727 \end{bmatrix}$$

در صورتی که از عناصر ابتدا و انتهای ماتریس بالا چشم‌پوشی شود، عناصر ۸، ۴، ۳ و ۷ در قطر اصلی تکرار می‌گردند، از آنجا که چهار عدد در قطر اصلی تکرار می‌گردد لذا مطابق شکل (۲) ماتریس یاد شده بیانگر رشته پالس

$$\Delta TOA_{(i,j)} = |TOA_{(j)} - TOA_{(i)}| \quad 1 \leq i, j \leq N \quad (1)$$

$$PTI = \Delta TOA * (HM)^{-1} \quad (2)$$

در روابط بالا N تعداد پالس‌ها، $TOA_{(i)}$ زمان ورود پالس i ام خوشه و HM ماتریس هارمونیک (Harmonic Matrix) است. روابط ۳ و ۴ بترتیب ماتریس هارمونیک و معکوس آن را به ازای تعداد پالس N نشان می‌دهند.

$$HM = \begin{bmatrix} 0 & 1 & 2 & \dots & N-1 \\ 1 & 0 & 1 & \dots & N-2 \\ 2 & 1 & 0 & 1 & \dots & N-3 \\ \dots & \dots & \dots & \dots & \dots & \dots \\ N-1 & N-2 & \dots & \dots & 1 & 0 \end{bmatrix} \quad (3)$$

$$HM^{-1} = \begin{bmatrix} \frac{-N+2}{2N-2} & 0.5 & 0 & 0 & 0 & \dots & 0 & \frac{1}{2N-2} \\ 0.5 & -1 & 0.5 & 0 & 0 & \dots & 0 & 0 \\ 0 & 0.5 & -1 & 0.5 & 0 & \dots & 0 & 0 \\ 0 & 0 & 0.5 & -1 & 0.5 & \dots & 0 & 0 \\ \vdots & \vdots & \vdots & \vdots & \vdots & \dots & \vdots & \vdots \\ 0 & 0 & 0 & 0 & 0 & \dots & 0.5 & -1 \\ \frac{1}{2N-2} & 0 & 0 & 0 & 0 & \dots & 0.5 & \frac{-N+2}{2N-2} \end{bmatrix} \quad (4)$$

در معکوس ماتریس هارمونیک به ازای $N \rightarrow \infty$ ،

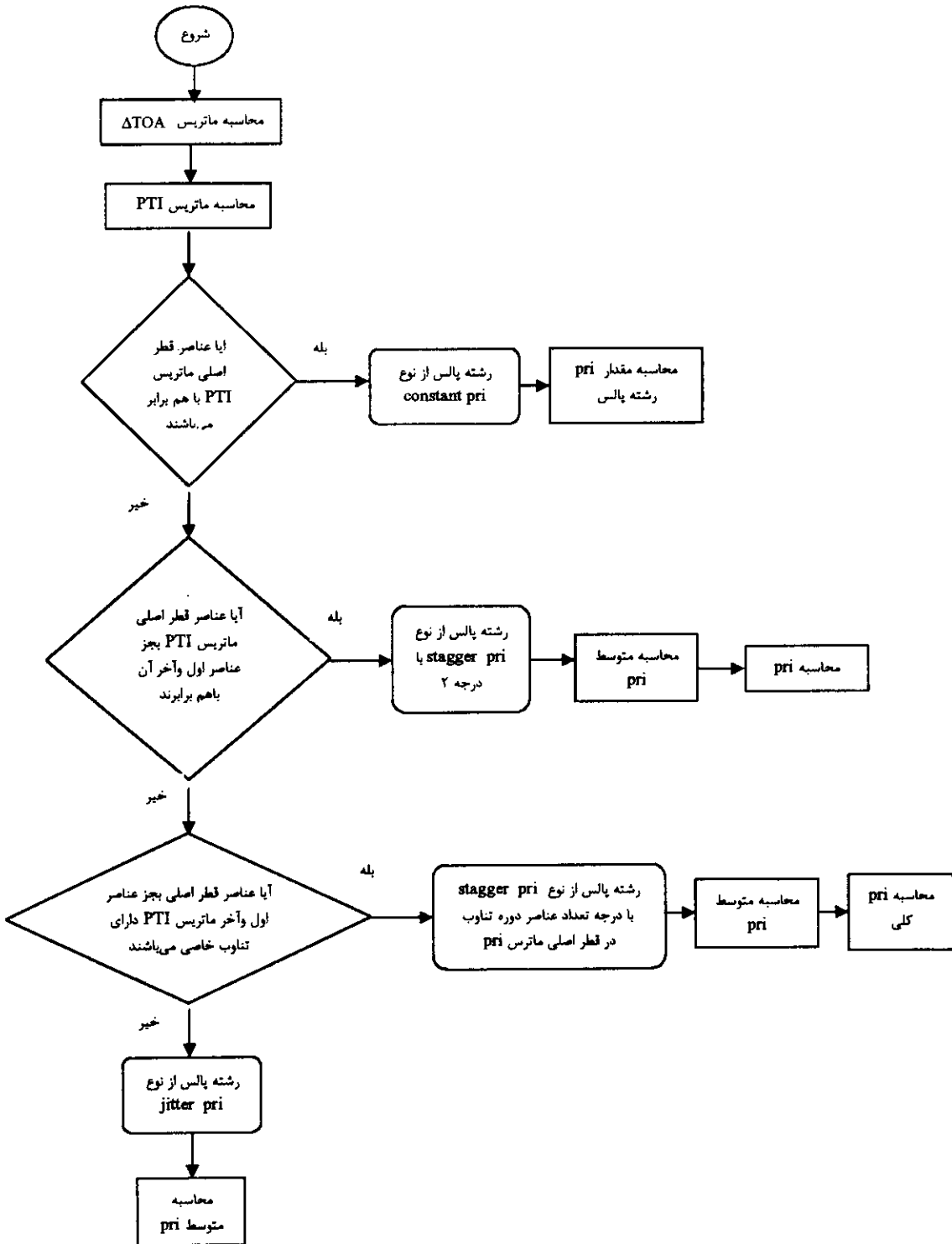
$$HM^{-1}(1, N) = HM^{-1}(N, 1) \rightarrow 0$$

$$HM^{-1}(1, 1) = HM^{-1}(N, N) \rightarrow -0.5 \text{ و}$$

میل خواهد کرد لذا در این حالت، اگر از عناصر $HM^{-1}(1, N)$ و $HM^{-1}(N, 1)$ چشم‌پوشی شود، این ماتریس تاپلیتز (Taplitz) خواهد شد. در زیر با چند مثال به بررسی کارایی این روش برای تکنیک‌های مختلف می‌پردازیم.

مثال (۱) نتایج شبیه سازی با نرم افزار MATLAB نشان می‌دهد ماتریس شناسائی رشته پالس برای رشته پالس از نوع فاصله تکرار پالس ثابت با فاصله تکرار پالس ۲۰ و تعداد پالس ۵ به صورت زیر می‌باشد.

$$PTI = \begin{bmatrix} 20 & 0 & 0 & 0 & 0 \\ 0 & 20 & 0 & 0 & 0 \\ 0 & 0 & 20 & 0 & 0 \\ 0 & 0 & 0 & 20 & 0 \\ 0 & 0 & 0 & 0 & 20 \end{bmatrix}$$



شکل ۲. دیاگرام مرحله‌ای شناسایی تکنیک‌های بکار رفته در فاصله تکرار پالس رادار

از نوع استگر با درجه چهار می باشد. مثال (۴) نتایج شبیه سازی با نرم افزار MATLAB نشان می دهد برای رشته پالس از نوع جیتر با فاصله تکرار پالس ۸، واریانس ۲۰ و تعداد پالس ۷ ماتریس شناسائی رشته پالس به صورت زیر است.

$$\Delta TOA = -I \times A + C \quad (5)$$

در رابطه ۵ ماتریس I ماتریس یکه است و ماتریس های A و C به صورت زیر تعریف می شوند.

$$A_{(N \times N)} = \begin{bmatrix} t_1 & t_1 & t_1 & t_1 & \dots & t_1 & t_1 \\ t_1 & t_2 & t_2 & t_2 & \dots & t_2 & t_2 \\ t_1 & t_2 & t_3 & t_3 & \dots & t_3 & t_3 \\ t_1 & t_2 & t_3 & t_4 & \dots & t_4 & t_4 \\ \vdots & \vdots & \vdots & \vdots & \ddots & \vdots & \vdots \\ t_1 & t_2 & t_3 & t_4 & \dots & t_{N-1} & t_N \end{bmatrix}$$

$$C_{(N \times N)} = \begin{bmatrix} t_1 & t_2 & t_3 & t_4 & \dots & t_N \\ t_2 & t_2 & t_3 & t_4 & \dots & t_N \\ t_3 & t_3 & t_3 & t_4 & \dots & t_N \\ t_4 & t_4 & t_4 & t_4 & \dots & t_N \\ \vdots & \vdots & \vdots & \vdots & \ddots & \vdots \\ t_N & t_N & t_N & t_N & \dots & t_N \end{bmatrix}$$

همانطور که در رابطه ۵ دیده می شود از آنجا که عمل ضرب ماتریس A با منفی ماتریس یکه انجام می شود می توان از آن چشم پوشی کرد و فقط عناصر ماتریس A را با علامت منفی با عناصر ماتریس C جمع نمود. از طرفی جمع دو ماتریس حجیم محاسبات کمی دارد و زمان انجام آن نسبت به دیگر زمان های مرحله شناسائی قابل چشم پوشی است. از این رو، در روش شناسائی پیشنهادی بیشترین زمان صرف محاسبه ماتریس شناسائی رشته پالس می شود. این ماتریس از ضرب دو ماتریس اختلاف زمان ورود پالس ها و معکوس ماتریس هارمونیک بدست می آید.

$$PTI = \begin{bmatrix} 8.7375 & -1.3253 & 1.1841 & -0.7707 & 0.6033 & -0.6250 & 0.3302 \\ -0.6035 & 8.0157 & 1.1841 & -0.7707 & 0.6033 & -0.6250 & 0.3302 \\ -0.6035 & 1.3253 & 7.8745 & -0.7707 & 0.6033 & -0.6250 & 0.3302 \\ -0.6035 & 1.3253 & -1.1841 & 8.2879 & 0.6033 & -0.6250 & 0.3302 \\ -0.6035 & 1.3253 & -1.1841 & 0.7707 & 8.1204 & -0.6250 & 0.3302 \\ -0.6035 & 1.3253 & -1.1841 & 0.7707 & -0.6033 & 8.0987 & 0.3302 \\ -0.6035 & 1.3253 & -1.1841 & 0.7707 & -0.6033 & 0.6250 & 7.8039 \end{bmatrix}$$

همانطور که در ماتریس بالا دیده می شود عناصر قطر اصلی نظم و یا ترتیب خاصی ندارند. بنابراین مطابق شکل (۲) ماتریس یاد شده بیانگر رشته پالس از نوع جیتر خواهد بود. بعد از تشخیص نوع تکنیک رشته پالس برای تشخیص نوع رادار مربوطه به مقدار یا متوسط مقدار فاصله تکرار پالس، رشته پالس آن نیاز است. در جدول (۱) فرمول های محاسبه فاصله تکرار پالس برای تکنیک های مختلف آورده شده است.

پیاده سازی روش پیشنهادی با استفاده از پردازنده آرایه ای

همانطور که در بخش مقدمه آورده شد تسریع در انجام عملیات شناسائی رشته پالس خوشه تاثیر بسزائی در بلادرنگ عمل نمودن سیستم ESM دارد. در روش

جدول ۱ روابط محاسبه فاصله تکرار پالس برای تکنیک های مختلف

Constant PRI	$PRI = \frac{TRACE (PTI)}{N}$	
Stagger PRI	$Mean PRI = \frac{Trace (PTI)}{N}$	Total (PRI) = Mean (PRI) * Degree Stagger
Jitter PRI	$Mean PRI = \frac{Trace (PTI)}{N}$	

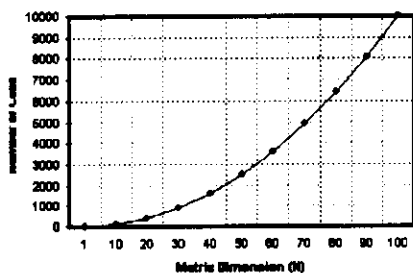
Archive of SID

درباره بردار نگاشت به طور مفصل بحث می‌شود). در این بخش با روش HSSM پردازنده آرایه ای مناسب که از تعدادی آرایه سیستمی تشکیل شده است برای انجام عملیات ضرب مربوط به محاسبه ماتریس شناسائی رشته پالس طراحی می‌گردد که در آن افزون بر تسریع ناشی از استفاده از آرایه سیستمی تسریع انجام عملیات بدلیل تکه کردن ماتریس‌ها نیز بهره برده می‌شود. در بخش ارزیابی نشان داده خواهد شد که استفاده از پردازنده آرایه ای پیچیدگی عملیات ضرب ماتریس را به مقدار $O(N)$ کاهش داده است.

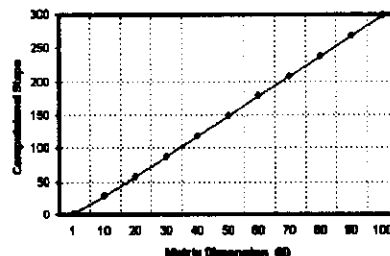
روش HSSM

در این بخش برای غلبه بر سربارهای موازی سازی در ضرب ماتریس‌های بزرگ، روشی بنام ضرب کننده سیستمی زیر ماتریس‌های همگن یا HSSM برای تکه کردن ماتریس‌های بزرگ اختلاف زمان ورود پالس‌ها و معکوس ماتریس هارمونیک و سپس ضرب آنها توسط آرایه‌های سیستمی، پیشنهاد می‌گردد. در این روش ماتریس‌ها به زیرماتریس‌هایی تقسیم شده و به این ترتیب برای ضرب زیرماتریس‌ها از آرایه‌های با ابعاد کوچکتر استفاده می‌شود. شایان توجه است که برای ضرب پذیری زیرماتریس‌ها می‌بایست آنها هم بعد باشند و به همین دلیل در این مقاله ساختار همگن

دقت شناسائی رشته پالس‌ها از ماتریس شناسائی رشته پالس به تعداد پالس در نظر گرفته شده یا ابعاد ماتریس‌ها بستگی دارد. بنابراین برای رسیدن به دقت بالا بایستی عملیات روی ماتریس‌های با ابعاد بزرگ انجام گیرد. الگوریتم استاندارد ضرب ماتریس‌ها به صورت متوالی دارای پیچیدگی زمانی $O(N^3)$ است که در آن N بعد ماتریس‌ها می‌باشد [11]. الگوریتم استراسن [12] اولین الگوریتمی بود که برای کاهش پیچیدگی زمانی ضرب ماتریسی ارائه شد. این الگوریتم پیچیدگی زمانی را از $O(N^3)$ به $O(N^{2.8074})$ تقلیل داد. پس از آن الگوریتم‌های دیگری توسط سایر پژوهشگران ارائه شد که بهترین آنها تا به امروز پیچیدگی زمانی را به $O(N^{2.3755})$ تقلیل داده‌اند [13]. به دلیل بزرگ بودن ابعاد ماتریس‌ها و لزوم انجام بلادرنگ محاسبات بایستی برای پیاده سازی روش پیشنهادی از آرایه سیستمی که مناسبترین ساختار موازی برای عملیات ماتریسی است، استفاده نمود. این آرایه برای انجام محاسبات ماتریس‌های بزرگ دارای مشکلاتی از قبیل مراحل زیاد عملیات و ابعاد بزرگ که منجر به تاخیر انتشار بیشتر و عدم امکان همزمانی بین سلول‌ها می‌شود، می‌باشد [14]. شکل‌های (۳) و (۴) بترتیب حجم عملیات آرایه سیستمی ضرب ماتریس و تعداد سلول‌های آرایه سیستمی را بر حسب ابعاد ماتریس برای بردار نگاشت (0,0,1) نشان می‌دهند (در بخش‌های بعدی



شکل ۴ تعداد سلول‌های آرایه سیستمی بر حسب ابعاد ماتریس



شکل ۳ تعداد مراحل عملیات لازم برای ضرب دو ماتریس مربعی در یک آرایه سیستمی بر حسب ابعاد ماتریس

$$n_s = (S-1) + S = 2S-1 \quad (10)$$

شکل (5) شمای بلوکی روش HSSM را نشان می‌دهد. در این شکل S^2 آرایه سیستمولیک عملیات محاسبه ماتریس R را انجام می‌دهد (هر آرایه با انجام $2S-1$ عمل جمع و یا ضرب ماتریسی یکی از زیر ماتریس‌های ماتریس R را محاسبه می‌نماید). شایان توجه است که تعداد سلول‌های آرایه سیستمولیک با ابعاد ماتریسی که قرار است بر روی آن عملیات انجام پذیرد نسبت مستقیم دارد. از طرف دیگر جمع تعداد سلول‌های بکار رفته در پردازنده آرایه‌ای روش HSSM با تعداد سلول‌های یک آرایه سیستمولیک به تنهایی برای همان عملیات برابر است (مثلا به ازای بردار نگاشت، (0,0,1) تعداد سلول‌های آرایه برای عملیات بر روی ماتریس‌های $N \times N$ برابر N^2 است (شکل 4)). بنابراین برای محاسبه زیرماتریس‌های R، عملاً S^2 آرایه که هر کدام دارای $(\frac{N}{S})^2$ سلول می‌باشند، لازم است. به این ترتیب ملاحظه می‌گردد که کل سلول‌های لازم برای آرایه‌ها جمعا برابر $N^2 \times (\frac{N}{S})^2 = N^2 \times S^2$ است که این مقدار همان تعداد سلول‌های لازم برای ضرب ماتریس‌های A و B به صورت مستقیم و با یک آرایه سیستمولیک است). در نتیجه اگر از روش HSSM، برای ضرب ماتریس‌ها استفاده شود حجم کل سخت افزار لازم تغییری نخواهد کرد ولی مشکلات عدم همزمانی و کندی آرایه‌های بزرگ، بدلیل کوچکتر شدن آرایه‌ها برطرف خواهد شد. (شایان توجه است هم ساختار داخلی سلول‌های آرایه سیستمولیک یکی است و هم به صورت سنکرون عمل می‌نمایند بنابراین روش یاد شده با تکنولوژی VLSI قابل پیاده سازی خواهد بود که این خود باعث می‌شود هزینه پیاده سازی آن بسیار کم شود). در بخش بعد به بحث روی نتایج حاصل از شبیه‌سازی و مدل کردن روش HSSM پرداخته می‌شود. این مباحث به تعیین بهترین ساختار روش HSSM برای داشتن کمترین زمان عملیات در ضرب ماتریس‌ها منجر خواهد گردید.

برای تقسیم‌بندی ماتریس در نظر گرفته شده است. برای شرح روش HSSM فرض می‌شود ماتریس‌های A و B دو ماتریس مربعی ΔTOA و HM^{-1} با ابعاد $N \times N$ باشند. روابط 6 و 7 این دو ماتریس را که از نظر ابعاد به S^2 تکه یکسان تقسیم شده‌اند نشان می‌دهد. در این روابط A_{ij} و B_{ij} زیرماتریس‌های مربعی با ابعاد $\frac{N}{S}$ می‌باشند.

$$A_{N \times N} = \begin{bmatrix} A_{11} & A_{12} & \dots & A_{1S} \\ A_{21} & A_{22} & \dots & A_{2S} \\ \vdots & \vdots & & \vdots \\ A_{S1} & A_{S2} & \dots & A_{SS} \end{bmatrix} \quad (6)$$

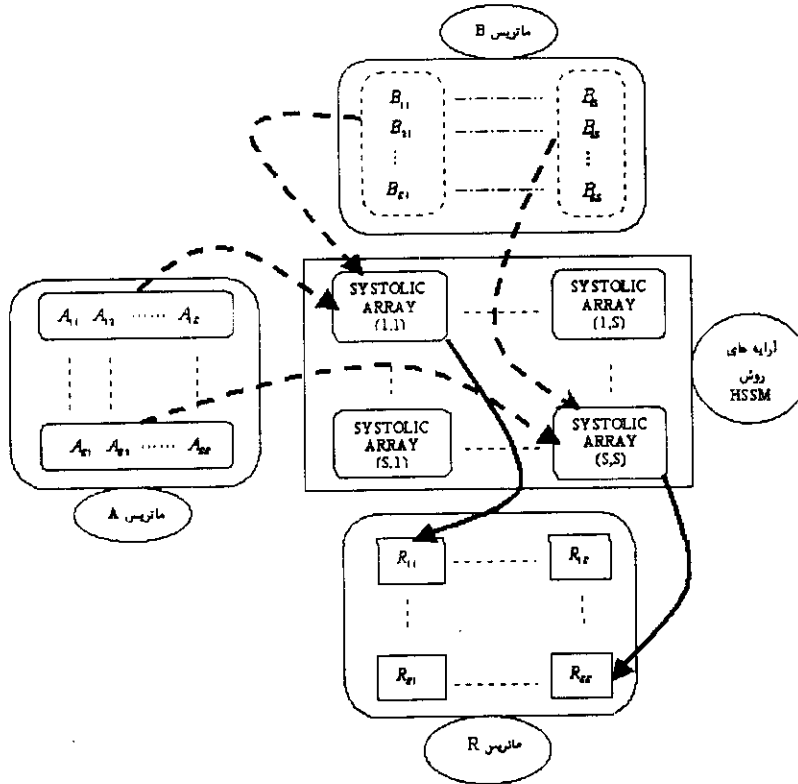
$$B_{N \times N} = \begin{bmatrix} B_{11} & B_{12} & \dots & B_{1S} \\ B_{21} & B_{22} & \dots & B_{2S} \\ \vdots & \vdots & & \vdots \\ B_{S1} & B_{S2} & \dots & B_{SS} \end{bmatrix} \quad (7)$$

اگر حاصلضرب $A \times B$ را ماتریس R بنامیم می‌توان زیر ماتریس‌های آنرا برحسب زیرماتریس‌های مربوط به A و B بسادگی بدست آورد. روابط 8 و 9 ماتریس حاصلضرب و چگونگی محاسبه زیرماتریس‌های آنرا نشان می‌دهند.

$$R = A \times B = \begin{bmatrix} R_{11} & R_{12} & \dots & R_{1S} \\ R_{21} & R_{22} & \dots & R_{2S} \\ \vdots & \vdots & & \vdots \\ R_{S1} & R_{S2} & \dots & R_{SS} \end{bmatrix} \quad (8)$$

$$R_{ij} = \sum_{k=1}^S A_{ik} B_{kj} \quad (9)$$

بنابر رابطه 9 برای محاسبه هر زیرماتریس از ماتریس حاصلضرب R، می‌بایست S عمل ضرب ماتریس‌های $\frac{N}{S} \times \frac{N}{S}$ و سپس $S-1$ عمل جمع ماتریس‌های $\frac{N}{S} \times \frac{N}{S}$ انجام پذیرد. رابطه 10 مقدار n_s یا تعداد عملیات ماتریسی لازم برای محاسبه هر زیرماتریس R را نشان می‌دهد.



شکل ۵ چگونگی عملکرد ضرب کننده زیرماتریس های همگن (HSSM)

زمان انجام عملیات و کارآئی روش HSSM

انجام ضرب ماتریس های بزرگ توسط یک آرایه سیستمیکی به تنهایی به دلیل بزرگ شدن ابعاد آرایه که خود موجب افزایش تاخیر انتشار پالس ساعت در داخل آرایه و عدم فعالیت سنکرون سلول ها می شود، باعث افت شدید در سرعت عملکرد آن می گردد. از این رو در بخش قبل روشی بنام HSSM پیشنهاد گردید. این روش ابتدا ماتریس ها را تکه کرده و سپس توسط آرایه های سیستمیکی در هم ضرب می کند. در این بخش به زمان انجام عملیات و کارآئی روش یاد شده پرداخته می شود. برای این کار بردار نگاشت، $(0,0,1)$ به عنوان نمونه در نظر گرفته می شود. برای بدست آوردن زمان کل انجام محاسبات نمادهای زیر تعریف می شوند.

- A, B ماتریس ها می که باید در هم ضرب شوند
- R ماتریس حاصل ضرب
- N ابعاد ماتریس ها
- S تعداد تقسیمات ستونی یا سری ماتریس تقسیم بندی شده (تعداد کل زیرماتریس ها برابر S^2 است)
- n_m تعداد عملیات ماتریسی برای محاسبه هر زیرماتریس از ماتریس حاصل ضرب
- n_g تعداد مراحل عملیات هر عمل ماتریسی برای محاسبه هر زیرماتریس از ماتریس حاصل ضرب
- n تعداد مراحل اجرای عملیات برای محاسبه یک زیرماتریس

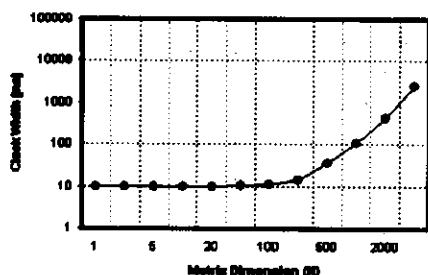
شکل (۶) تعداد مراحل اجرای عملیات توسط هر آرایه را بر حسب S و به ازای مقادیر مختلف بعد ماتریس نشان می‌دهد. در این شکل حداکثر مقدار S در رسم منحنی‌ها $\frac{N}{2}$ در نظر گرفته شده است. در این حالت هر زیرماتریس حداقل چهار آرایه خواهد داشت. همانطوریکه در شکل (۶) دیده می‌شود با زیاد شدن تعداد زیرماتریس‌ها ابتدا تعداد کلاک‌ها افزایش یافته و سپس تقریباً ثابت باقی می‌ماند. از طرف دیگر به ازای مقادیر بزرگتر S ، ابعاد آرایه‌های شکل (۵) کوچکتر می‌گردد. کوچک شدن آرایه‌ها باعث کم شدن تاخیر انتشار پالس ساعت و در نتیجه کاهش عرض آن می‌شود. عرض پالس ساعت که با T نمایش داده می‌شود، برابر با مجموع زمان اجرای عملیات در هر سلول (τ) و تاخیر انتشار پالس در داخل آرایه ($D(p)$) می‌باشد. در یک مدل ساده تاخیر انتشار متناسب با تعداد سلول‌های آرایه متناسب فرض می‌شود. اگر ضریب تناسب را α بنامیم:

$$D(p) = \alpha p \quad (13)$$

برای بردار نگاشت $(0,0,1)$ که در مقاله مد نظر بوده است، تعداد سلول‌های آرایه (p) برای عملیات بر روی ماتریس‌های $N \times N$ برابر N^2 است. بنابراین:

$$T = \tau + D(p) = \tau + \alpha N^2 \quad (14)$$

شکل (۷) منحنی تغییرات عرض پالس ساعت را به



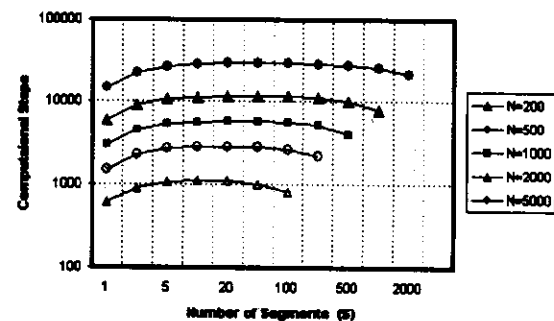
شکل ۷ پهنای پالس ساعت آرایه سیستمیک بر حسب ابعاد ماتریس به ازای $\alpha = 0.001ns$ و $\tau = 10ns$

تعداد سلول‌های هر آرایه روش HSSM p
 زمان انجام عملیات در هر سلول آرایه τ
 سیستمیک (زمان انجام عملیات سلول‌ها برابر می‌باشد)
 $D(p)$ تاخیر انتشار کلاک در هر آرایه سیستمیک سلولی p
 T پرورد پالس ساعت هر آرایه روش HSSM
 t_s زمان کل محاسبه هر زیرماتریس از ماتریس حاصلضرب
 t_T زمان کل محاسبات
 تعداد مراحل انجام عملیات در هر آرایه سیستمیک که قرار است عملیات ماتریسی با ابعاد N را انجام دهد براساس رابطه ۱۱ قابل محاسبه است. بنابراین تعداد مراحل لازم (تعداد پالس ساعت) برای هر عمل ماتریسی در محاسبه زیرماتریس‌های ماتریس t_s توسط آرایه‌های شکل (۵) از رابطه زیر بدست می‌آید.

$$n_s = \left(\frac{3N}{S} - 2\right) \quad (11)$$

در روش HSSM هر زیرماتریس دارای بعد $\frac{N}{S}$ است. از این رو با توجه به رابطه ۶ تعداد کل مراحل عملیات لازم برای محاسبه هر زیرماتریس از ماتریس حاصلضرب برابر خواهد بود با:

$$n = n_s \times n_m = \left(\frac{3N}{S} - 2\right)(2S - 1) \quad (12)$$



شکل ۶ تعداد مراحل عملیات لازم سلول‌های آرایه سیستمیک بر حسب تعداد تکه‌های ماتریس

برای نگهداری نتایج جهت محاسبات آتی (جمع نتایج بدست آمده از ضرب بلوکها) می بایست نتیجه در یک بافر میان راهی ذخیره گردد. بنابراین بایستی به زمان بدست آمده در رابطه ۱۶ زمان بافرینگ نیز اضافه گردد. رابطه ۱۷ زمان کل محاسبات را بدست می دهد. در این رابطه t_b زمان بافرینگ در کل عملیات محاسبه زیرماتریس های A^B و B^A و t_p زمان هر بار بافر کردن نتیجه میان راهی می باشد. به این ترتیب زمان کل محاسبه به صورت زیر خواهد شد:

$$t_T = t_r + t_b = \left\{ \left(\frac{3N}{S} - 2 \right) (2S - 1) \left(\tau + \alpha \frac{N}{S} \right) \right\} + (\tau_b S) \quad (17)$$

شکل (۹) تغییرات زمان کل محاسبات را بر حسب S به ازای $\tau_b = 100ns$ ، $A \times B$ ، $\alpha = 0.00lns$ و مقادیر مختلف N نشان می دهد. ملاحظه می شود که با اعمال روش HSSM برای محاسبه ضرب ماتریس ها ابتدا زمان محاسبات کاهش یافته و پس از مدتی افزایش می یابد. شایان ذکر است که مقادیر زمان محاسبه به ازای $S=1$ نشان دهنده ضرب معمولی ماتریس ها با استفاده از یک آرایه سیستمولیک می باشد. علت نزول و سپس صعود منحنی زمان کل محاسبات، تاثیر سربارهای تقسیم بندی ماتریس می باشد. درحقیقت هرچه تعداد زیرماتریس ها بزرگتر شود سربارهایی نظیر بافرینگ و

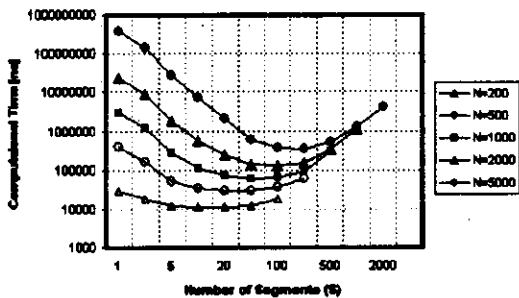
ازای $\tau = 10ns$ و $\alpha = 0.00lns$ بر حسب N نمایش می دهد. مطابق این شکل با بزرگ شدن ابعاد آرایه، زمان پالس ساعت افزایش می یابد. اما در روش HSSM تعداد سلول های آرایه هائی که برای ضرب زیرماتریس ها بکار می رود برابر $\frac{N}{S}$ است، بنابراین عرض پالس ساعت برای هر آرایه در روش HSSM (شکل ۵) برابر است با:

$$T = \tau + D(p) = \tau + \alpha \frac{N}{S} \quad (15)$$

شکل (۸) منحنی تغییرات عرض پالس ساعت را بر حسب S به ازای همان مقادیر α و τ که در شکل (۷) نمایش داده شده و برای مقادیر مختلف N نشان می دهد. همانطور که در شکل (۸) ملاحظه می شود با بزرگ شدن S عرض پالس ساعت کوچکتر می شود. بنابراین چه بیان شد زمان کل عملیات برای انجام محاسبه هر زیرماتریس از ماتریس حاصل ضرب برابر است با:

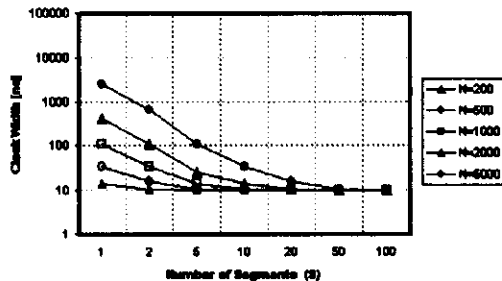
$$t_s = nT = \left(\frac{3N}{S} - 2 \right) (2S - 1) \left(\tau + \alpha \frac{N}{S} \right) \quad (16)$$

از طرف دیگر باید توجه نمود که در ضرب مستقیم دو ماتریس $N \times N$ درایه ماتریس ها به ترتیب روندی که بر اساس ساختار آرایه سیستمولیک مشخص می شود به آرایه وارد می گردند و در نهایت پاسخ محاسبه می شود. ولی در روش HSSM شکل (۵) در محاسبه هر زیرماتریس حاصل ضرب پس از ضرب دو بلوک



شکل ۹ زمان انجام عملیات سلول های آرایه سیستمولیک بر حسب تعداد تکه های ماتریس به ازای $\alpha = 0.000lns$ و $\tau = 10ns$ و

$$k = 100ns$$



شکل ۸ پهنای پالس ساعت آرایه های سیستمولیک در روش HSSM بر حسب S

Archive of SID

تعداد ضرب های ماتریسی بلوک ها افزایش می یابد و این مطلب پس از مدتی بر کاهش عرض پالس ساعت آرایه های روش HSSM غالب می گردد. بنابراین با توجه به منحنی های شکل (۹) می توان تعداد زیرماتریس های بهینه را برای رسیدن به کمترین زمان کل محاسبه به ازای مقدار مشخص N تعیین نمود. افزون بر این، شکل (۹) نشان می دهد که روش HSSM برای ابعاد بزرگتر ماتریس ها موثرتر می باشد زیرا میزان کاهش زمان برای ابعاد کوچک ماتریس ها کمتر است. در انتها ذکر این نکته لازم است که در تقسیم بندی ماتریس ها می بایست تعداد تقسیمات سطری یا ستونی (S) طوری انتخاب گردند که ابعاد ماتریس های اصلی (N) به S قابل قسمت باشد. در ترسیم منحنی های شکل (۹) این نکته لحاظ نگردیده و منحنی به صورت تئوری برای محاسبه زمان اجرا به ازای تمام مقادیر S بطور پیوسته ترسیم شده است. از این رو برای یافتن بهترین مقدار S می بایست مقدار متناظر با حداقل منحنی های شکل (۹) را تعیین نموده و سپس از میان مقسوم الیه های N نزدیکترین مقدار به آن را یافت. به این ترتیب بهترین مقدار S که ابعاد ماتریس ها به آن بخش پذیر بوده و کمترین زمان عملیات را داشته باشد، مشخص می گردد.

ساختار آرایه های سیستمیکی روش HSSM

در این بخش آرایه سیستمیکی بکار رفته در شکل (۵) طراحی می شود. برای طراحی ساختار آرایه بایستی ابعاد ماتریس ها مشخص باشد. نتایج بررسیهای انجام گرفته روی محیط شبیه سازی راداری (به ازای ۵ رادار مختلف) نشان می دهد در نظر گرفتن ۲۰۰ پالس در فریم شناسایی دقت خوبی را در شناسایی رشته پالس ها بدست می دهد. از این رو ماتریس های A و B در شکل (۵) دارای ابعاد 200×200 می باشند. همانطور که در شکل (۹) دیده می شود بهترین مقدار S برای $N=200$ مقدار ۲۰ است. بنابراین زیر ماتریس ها دارای ابعاد

۱۰×۱۰ خواهند بود. در این بخش آرایه های شکل (۵) برای $N=200$ و $S=20$ طراحی می شود. این آرایه ها دارای ساختاری مشابه می باشند از این رو در ادامه، طراحی یکی از آنها آورده خواهد شد. ماتریس های ورودی آرایه های سیستمیکی یاد شده دارای ابعاد 10×10 هستند از این رو ساختار سیستمیکی برای تعداد پالس ۱۰ طراحی شده است (شایان توجه است آرایه سیستمیکی به ازای تعداد پالس ۱۰ طراحی شده ولی مشخصات و ارزیابی آرایه ها به ازای بردارهای نگاشت مختلف به ازای تعداد پالس N استخراج شده اند). برای طراحی آرایه سیستمیکی ابتدا گراف وابستگی را رسم نموده و بسته به بردار نگاشت مورد نظر گراف وابستگی به گراف جریان سیگنال تبدیل می گردد و در نهایت عملیات نگاشت ورودی و خروجی انجام می شود [15-17]. بسته به مسئله و معادله بازگشتی آن بعد گراف وابستگی متفاوت خواهد بود (مثلا برای ضرب ماتریس در بردار گراف وابستگی دو بعدی و برای ضرب ماتریس در ماتریس گراف وابستگی سه بعدی می باشد). از این رو، با عمل نگاشت که با توجه به بردار نگاشت انجام می گیرد یک بعد گراف وابستگی کم می گردد و آرایه حاصله همان گراف جریان سیگنال خواهد بود. بردارهای نگاشت مختلفی را می توان برای طراحی آرایه سیستمیکی یاد شده استفاده کرد. مشخصات گراف وابستگی برای ضرب ماتریسی که توسط برنامه شبیه ساز تهیه شده، به صورت زیر است. در این تحقیق، همانطور که گفته شد آرایه های سیستمیکی برای بردارهای نگاشت مختلف به ازای تعداد پالس ده طراحی شده است ولی برای نمایش ساختار عمومی آرایه ها، شکل (۱۰) به ازای تعداد پالس سه ترسیم شده است. مشخصات آرایه های سیستمیکی طراحی شده به ازای بردارهای نگاشت مختلف استخراج شده و در جدول (۲) آمده است (این جدول برحسب ابعاد ماتریس (N) داده شده است). آرایه های سیستمیکی توسط پارامترهای تعداد سلول ها

تعداد ضرب های ماتریسی بلوک ها افزایش می یابد و این مطلب پس از مدتی بر کاهش عرض پالس ساعت آرایه های روش HSSM غالب می گردد. بنابراین با توجه به منحنی های شکل (۹) می توان تعداد زیرماتریس های بهینه را برای رسیدن به کمترین زمان کل محاسبه به ازای مقدار مشخص N تعیین نمود. افزون بر این، شکل (۹) نشان می دهد که روش HSSM برای ابعاد بزرگتر ماتریس ها موثرتر می باشد زیرا میزان کاهش زمان برای ابعاد کوچک ماتریس ها کمتر است. در انتها ذکر این نکته لازم است که در تقسیم بندی ماتریس ها می بایست تعداد تقسیمات سطری یا ستونی (S) طوری انتخاب گردند که ابعاد ماتریس های اصلی (N) به S قابل قسمت باشد. در ترسیم منحنی های شکل (۹) این نکته لحاظ نگردیده و منحنی به صورت تئوری برای محاسبه زمان اجرا به ازای تمام مقادیر S بطور پیوسته ترسیم شده است. از این رو برای یافتن بهترین مقدار S می بایست مقدار متناظر با حداقل منحنی های شکل (۹) را تعیین نموده و سپس از میان مقسوم الیه های N نزدیکترین مقدار به آن را یافت. به این ترتیب بهترین مقدار S که ابعاد ماتریس ها به آن بخش پذیر بوده و کمترین زمان عملیات را داشته باشد، مشخص می گردد.

ساختار آرایه های سیستمیکی روش HSSM

در این بخش آرایه سیستمیکی بکار رفته در شکل (۵) طراحی می شود. برای طراحی ساختار آرایه بایستی ابعاد ماتریس ها مشخص باشد. نتایج بررسیهای انجام گرفته روی محیط شبیه سازی راداری (به ازای ۵ رادار مختلف) نشان می دهد در نظر گرفتن ۲۰۰ پالس در فریم شناسایی دقت خوبی را در شناسایی رشته پالس ها بدست می دهد. از این رو ماتریس های A و B در شکل (۵) دارای ابعاد 200×200 می باشند. همانطور که در شکل (۹) دیده می شود بهترین مقدار S برای $N=200$ مقدار ۲۰ است. بنابراین زیر ماتریس ها دارای ابعاد

Computation sets:

$$\begin{aligned} \text{Pin}(\text{Ain}) &= \{(i, \max(1, k - \text{Pb} + 1) - 1, k) \leftarrow a(i, k) \mid 1 \leq k \leq N, i - k \leq \text{Pa} - 1, k - i \leq \text{Qa} - 1\} \\ \text{Pin}(\text{Bin}) &= \{(\max(1, k - \text{Qa} + 1) - 1, j, k) \leftarrow b(k, j) \mid 1 \leq k \leq N, j - k \leq \text{Qb} - 1, k - j \leq \text{Pb} - 1\} \\ \text{Pin}(\text{Cin}) &= \{(i, j, \min(N, j + \text{Qa} - 1, j + \text{Pb} - 1) + 1) \leftarrow c_{in}(i, j) \mid 1 \leq i \leq N, j - i \leq \text{Qc} - 1, i - j \leq \text{Pc} - 1\} \\ \text{Pin}(\text{Cout}) &= \{(i, j, \max(0, j - \text{Pa} - \text{Qb})) \leftarrow c_{out}(i, j) \mid 1 \leq i \leq N, j - i \leq \text{Qc} - 1, i - j \leq \text{Pc} - 1\} \\ \text{Pint} &= \{(i, j, k) \leftarrow \text{node}(i, j, k) \mid 1 \leq k \leq N, \max(1, k - \text{Qa} + 1) \leq i \leq \min(N, \text{Pa} + k - 1), \max(1, k - \text{Pb} + 1) \leq j \leq \min(N, \text{Qb} + k - 1)\} \end{aligned}$$

Node description:

$$\begin{aligned} \text{NODE}(p) &= \\ x1(p) &= x1(p - (1, 0, 0)) \\ x2(p) &= x2(p - (0, 1, 0)) \\ x3(p) &= y(p - (0, 0, -1)) \\ y &= x3 + x1 * x2 \end{aligned}$$

Data flows:

$$\begin{aligned} \text{flow}(\text{Ain}) &= (0, 1, 0) \\ \text{flow}(\text{Bin}) &= (1, 0, 0) \\ \text{flow}(\text{Cin}) &= (0, 0, -1) \\ \text{flow}(\text{Cout}) &= (0, 0, -1) \end{aligned}$$

Connected variables:

$$\begin{aligned} \text{var}(\text{Ain}) &= x2 \\ \text{var}(\text{Bin}) &= x1 \\ \text{var}(\text{Cin}) &= y \\ \text{var}(\text{Cout}) &= y \end{aligned}$$

Range plane:

$$i + j - k + \min(\text{Pb}, \text{Qa}) - 2 = 0$$

بردار نگاشت، $(0, 0, 1)$ ، انجام گرفت. سلول‌های آرایه های شکل (۱۰) دارای ساختاری مشابه می‌باشند. هر سلول این آرایه‌ها دارای سه ثبات $(X3, X2, X1)$ ، یک واحد ضرب کننده و یک واحد جمع کننده می‌باشد. شکل (۱۱) شمای طبقاتی سلول را نشان می‌دهد. شکل (۱۲) محدوده‌های زمانی فعالیت سلول‌های هر آرایه شکل (۵) (با بردار نگاشت $((0, 0, 1))$ را برای انجام عملیات محاسبه ماتریسی شناسایی رشته پالس نشان می‌دهد. در این شکل ستون‌های اول و دوم سمت چپ بترتیب شماره سلول و موقعیت سلول در مختصات XY است و سطر اول نیز نشان دهنده شماره پالس ساعت اعمالی به آرایه سیستمیک می‌باشد. با توجه به شکل یاد شده موازی عمل نمودن سلول‌ها کاملاً مشهود است به عنوان مثال، در هفتمین پالس ساعت نوزده سلول عملیات انجام می‌دهند.

(A) ، تعدادپالس ساعت (T) ، AT و AT^2 ارزیابی می‌شوند [15-17]. پارامترهای ارزیابی برای آرایه های بدست آمده به ازای بردارهای نگاشت مختلف برحسب ابعاد ماتریس (N) ، محاسبه شده و در جدول (۳) آورده شده است. (پارامترهای این جدول (۲) و (۳) از روی آرایه های مختلف بدست آمده به ازای مقادیر مختلف N استخراج شده و سپس به تمام مقادیر N تعمیم داده شده اند). آرایه حاصله از بردار نگاشتی بهتر است که مقادیر پارامترهای ارزیابی آن کمتر از بقیه باشد. بنابراین بر اساس جدول‌های (۲) و (۳) آرایه های بدست آمده به ازای بردارهای نگاشت، $(0, 0, 1)$ ، $(0, 1, 0)$ و $(1, 0, 0)$ دارای کمترین تعداد سلول پردازشگر و پارامترهای ارزیابی بهتر می‌باشند (پارامترهای ارزیابی آرایه حاصل از این سه بردار نگاشت از بقیه کمتر می‌باشد). به این ترتیب، برای ادامه طراحی می‌توان از یکی از این سه بردار نگاشت استفاده نمود. در این تحقیق طراحی با

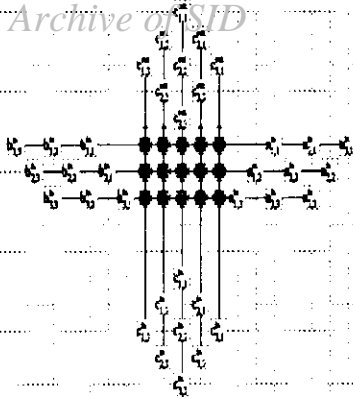
جدول ۲ مشخصات آرایه های سیستمیک طراحی شده برای بردارهای مختلف نگاشت

	فاصله لوله ای (Pipeline interval)	ورودی ها و خروجیهای خارجی (External I/O)	افزایش سرعت (Speedup)	کارایی (Effectiveness)
(0,0,1)	۱	$2N$	$\frac{N^2}{3N-2}$	$\frac{N}{3N-2}$
(0,1,0)	۱	$3N$	$\frac{N^2}{3N-2}$	$\frac{N}{3N-2}$
(1,0,0)	۱	$3N$	$\frac{N^2}{3N-2}$	$\frac{N}{3N-2}$
(1,1,0)	۲	$6N-2$	$\frac{N^2}{3N-2}$	$\frac{N^2}{(3N-2)(2N^2-N)}$
(0,1,-1)	۲	$5N-1$	$\frac{N^2}{3N-2}$	$\frac{N^2}{(3N-2)(2N^2-N)}$
(-1,0,1)	۲	$5N-1$	$\frac{N^2}{3N-2}$	$\frac{N^2}{(3N-2)(2N^2-N)}$
(1,1,1)	۱	$8N-4$	$\frac{N^2}{3N-2}$	$\frac{N^3}{(3N-2)(3N^2-3N+1)}$
(1,-1,1)	۱	$8N-4$	$\frac{N^2}{3N-2}$	$\frac{N^3}{(3N-2)(3N^2-3N+1)}$
(-1,1,1)	۱	$8N-4$	$\frac{N^2}{3N-2}$	$\frac{N^3}{(3N-2)(3N^2-3N+1)}$
(1,1,-1)	۳	$8N-4$	$\frac{N^2}{3N-2}$	$\frac{N^3}{(3N-2)(3N^2-3N+1)}$

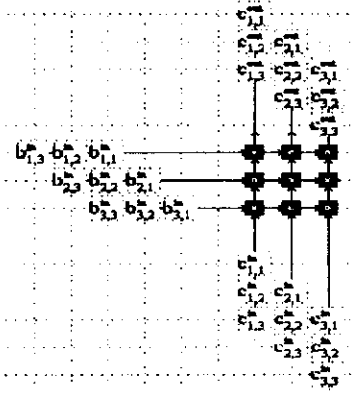
جدول ۳ مقادیر بدست آمده برای پارامترهای ارزیابی آرایه های سیستمیک به ازای بردارهای مختلف نگاشت

	تعداد سلولها A	تعداد سلول ساعت T	AT	AT^2
(0,0,1)	N^2	$3N-2$	$3N^3-2N^2$	$9N^4-12N^3+4N^2$
(0,1,0)	N^2	$3N-2$	$3N^3-2N^2$	$9N^4-12N^3+4N^2$
(1,0,0)	N^2	$3N-2$	$3N^3-2N^2$	$9N^4-12N^3+4N^2$
(1,1,0)	$2N^2-N$	$3N-2$	$6N^3-7N^2+2N$	$18N^4-33N^3+20N^2-4N$
(0,1,-1)	$2N^2-N$	$3N-2$	$6N^3-7N^2+2N$	$18N^4-33N^3+20N^2-4N$
(-1,0,1)	$2N^2-N$	$3N-2$	$6N^3-7N^2+2N$	$18N^4-33N^3+20N^2-4N$
(1,1,1)	$3N^2-3N+1$	$3N-2$	$9N^3-15N^2+9N-2$	$27N^4-63N^3+57N^2-24N+4$
(1,-1,1)	$3N^2-3N+1$	$3N-2$	$9N^3-15N^2+9N-2$	$27N^4-63N^3+57N^2-24N+4$
(-1,1,1)	$3N^2-3N+1$	$3N-2$	$9N^3-15N^2+9N-2$	$27N^4-63N^3+57N^2-24N+4$
(1,1,-1)	$3N^2-3N+1$	$3N-2$	$9N^3-15N^2+9N-2$	$27N^4-63N^3+57N^2-24N+4$

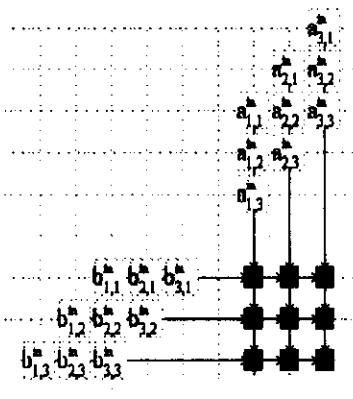
Archive of SID



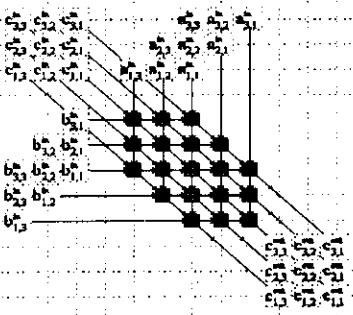
آرایه سیستولیک با بردار نگاشت $(1,1,0)$



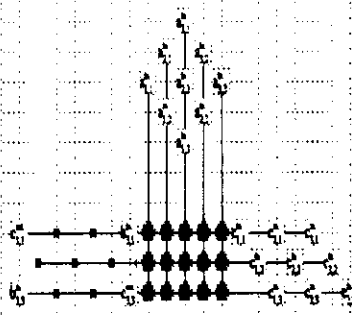
آرایه سیستولیک با بردار نگاشت $(0,1,0)$



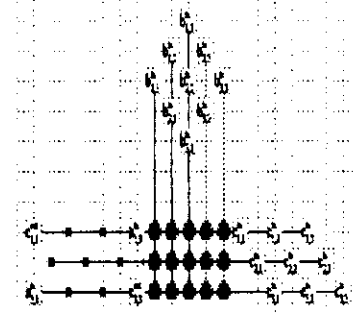
آرایه سیستولیک با بردار نگاشت $(0,0,1)$



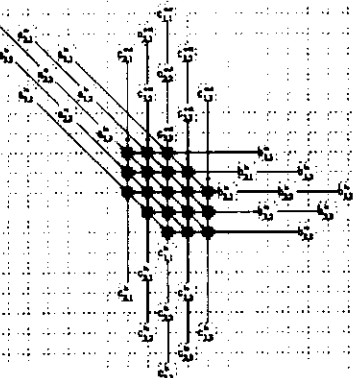
آرایه سیستولیک با بردار نگاشت $(1,1,1)$



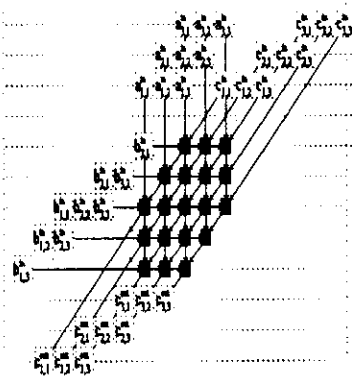
آرایه سیستولیک با بردار نگاشت $(-1,0,1)$



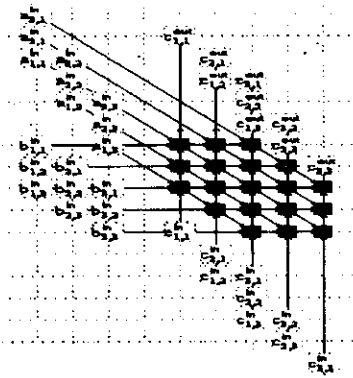
آرایه سیستولیک با بردار نگاشت $(0,1,-1)$



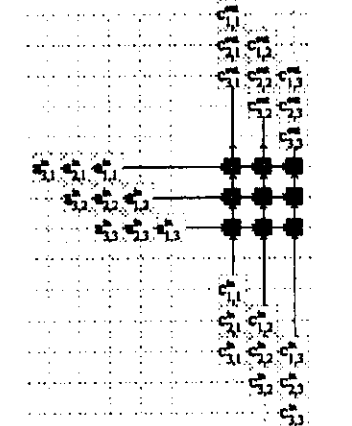
آرایه سیستولیک با بردار نگاشت $(1,1,-1)$



آرایه سیستولیک با بردار نگاشت $(-1,1,1)$

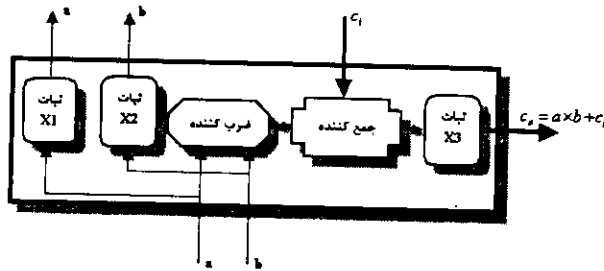


آرایه سیستولیک با بردار نگاشت $(1,-1,1)$



آرایه سیستولیک با بردار نگاشت $(1,0,0)$

شکل ۱۰ نمایش ساختار عمومی آرایه های سیستولیک طراحی شده برای شکل ۵ به ازای تعداد پالس ۳



شکل ۱۱ شمای طبقاتی سلول بکار رفته در شکل ۱۰

No	(x,y)	0	1	2	3	4	5	6	7	8	9	10	11	12
0	(1,1)													
1	(1,2)													
2	(1,3)													
3	(1,4)													
4	(1,5)													
5	(2,1)													
6	(2,2)													
7	(2,3)													
8	(2,4)													
9	(2,5)													
10	(3,1)													
11	(3,2)													
12	(3,3)													
13	(3,4)													
14	(3,5)													
15	(4,1)													
16	(4,2)													
17	(4,3)													
18	(4,4)													
19	(4,5)													
20	(5,1)													
21	(5,2)													
22	(5,3)													
23	(5,4)													
24	(5,5)													

شکل ۱۲ محدوده زمانی فعالیت سلول‌های آرایه سیستولیکی (با بردار نگاشت، (0,0,1))

محاسبات روش پیشنهادی را چنانچه عملیات آن با تک پردازنده انجام گیرد نشان می‌دهد. همانطور که در این جدول آمده است برای انجام کل عملیات روش پیشنهادی تقریباً به $3.5N^2$ پالس ساعت نیاز است. به عبارت دیگر حجم کل محاسبات الگوریتم پیشنهادی با توان دوم N (تعداد پالس‌ها) متناسب است، این در حالی است که روش‌های قبلی بکار گرفته شده در

ارزیابی پیاده سازی روش پیشنهادی با پردازنده آرایه ای طراحی شده

کارایی الگوریتم‌های شناسایی بر اساس حجم محاسبات و امکان موازی سازی عملیات آنها ارزیابی می‌گردد. در الگوریتم پیشنهادی، معکوس ماتریس هارمونیک برای تعداد پالس‌های مشخص یکبار محاسبه می‌شود و سپس بدفعات از آن استفاده می‌گردد. جدول (۴) حجم

نتیجه گیری

در این مقاله یک الگوریتم موثر برای شناسایی رشته پالس‌ها ارائه گردید. و سپس چند آرایه سیستولیکی (بر اساس روش HSSM) برای انجام محاسبات آن بکار گرفته شد. نتایج بدست آمده از بکار گیری این الگوریتم و پیاده سازی آن با آرایه سیستولیک به صورت زیر است:

۱- حجم محاسبات و یا به عبارتی تعداد پالس ساعت لازم برای انجام عملیات روش پیشنهادی بطور متوالی تقریباً $3.5N^2$ است که در مقایسه با روش‌های قبلی کمتر می‌باشد و در حالت اجرا به صورت موازی (انجام عملیات با آرایه‌های سیستولیکی بر اساس HSSM) به $6(\frac{N}{S}) + N - 4$ تقلیل می‌یابد.

۲- روش پیشنهادی قادر است پراحتی رشته پالس با تکنیک‌های فاصله تکرار پالس ثابت، فاصله تکرار پالس استگر و فاصله تکرار پالس جیتر را شناسایی نماید. در حالیکه روش‌های قبلی هیچکدام قادر به شناسایی همه تکنیک‌ها نیستند.

۳- با روش پیشنهادی می‌توان در حالت استگر، فاصله تکرار پالس‌های جزء را بدست آورد. این مقادیر با کم کردن عناصر قطر اصلی از عناصر قطر بالاتر از قطر اصلی بدست می‌آیند. در صورتیکه روش‌های قبلی هیچکدام قادر به محاسبه این مقادیر نیستند. در ادامه این تحقیق می‌توان روش‌های ماتریسی که برای خوشه بندی استفاده می‌شوند را بکار گرفت و از یک آرایه سیستولیکی یکپارچه برای انجام کل عملیات خوشه بندی و شناسایی استفاده نمود.

سیستم‌های شناسایی راداری دارای حجم محاسبات با توان سوم N متناسب بوده‌اند. بنابراین حتی اگر روش پیشنهاد شده با تک پردازنده به اجرا در آید نسبت به روش‌های قبلی موثرتر است ولی برای افزایش بیشتر سرعت از پردازنده آرایه ای برای انجام عملیات آن استفاده شد که زمان انجام محاسبات را بشدت پائین آورد. جدول (۵) حجم عملیات لازم برای انجام محاسبات در صورت استفاده از آرایه سیستولیک (طراحی شده در بخش قبل) را نشان می‌دهد. مطابق جدول (۵) تعداد پالس ساعت لازم برای انجام محاسبات شناسایی رشته پالس‌ها با روش پیشنهادی و پیاده سازی آن توسط پردازنده آرایه ای متناسب با تعداد پالس‌ها (N) است.

جدول ۴ حجم محاسبات روش پیشنهادی

نوع عملیات	حجم محاسبات
محاسبه ΔTOA	$\frac{N(N-1)}{2}$
محاسبه PTI	$3N^2$
مقایسه عناصر قطر اصلی	$\approx N$
کل محاسبات	$3.5N^2 + 0.5N \approx 3.5N^2$

جدول ۵ حجم محاسبات (تعداد پالس ساعت) لازم برای روش پیشنهادی در صورت پیاده سازی با پردازنده آرایه ای

نوع عملیات	حجم محاسبات
محاسبه ΔTOA	$3(\frac{N}{S}) - 2$
محاسبه PTI	$3(\frac{N}{S}) - 2$
مقایسه عناصر قطر اصلی	$\approx N$
کل پالس ساعت لازم	$6(\frac{N}{S}) + N - 4$

مراجع

1. Shahhoseini, H. S., Naseri, and A., Naderi, M., "Matrix Multistage Clustering of Interleaved Pulse Train", *IASTED International Conference, Signal Processing, Pattern Recognition and Application, Greece*, pp. 98-101, June(2002).
2. Shahhoseini, H. S., Naseri, and A., Naderi, M., "A New Matrix Method for Pulse Train Identification", *IEEE proceedings, MELECON*, pp. 183-187, (2002).
3. Conroy, T., and Moore, J. B., "On The Estimation of Interleaved Pulse Train Phases", fifth international symposium on signal processing and its applications, ISSPA, 99, Brisbane, Australia, pp. 223-226, 22-25 August, (1999).
4. Logothetis, A., and Krishnamurthy, V., "An Interval - Amplitude Algorithm for Deinterleaving Stochastic Pulse Train Sources", *IEEE transactions on signal processing*, vol. 46, No. 5, pp. 1344-1350, May, (1998).
5. Orsi, R. J., Moore, J. B., and Mahony, R. E., "Interleaved Pulse Train Spectrum Estimation", International symposium on signal processing and its applications, ISSPA, Gold Coast, Australia, pp. 125-128, 25-30 August, (1996).
6. Sadler, B. M., and Casey, S. D., "PRI Analysis From Sparse Data via a Modified Euclidean Algorithm", *IEEE proceedings of ASILOMAR - 29*, pp 1147-1151, (1996).
7. Perkins, J., and Coat, I., "Pulse Train Deinterleaving via The Hough Transform", *IEEE International conference on signal processing*, vol.3, pp. 197- 200, (1994).
8. Moore, J. B., and Krishnamurthy, V., "Deinterleaving Pulse Trains Using Discrete-Time Stochastic Dynamic Linear Models.", *IEEE transaction on signal processing*, vol. 42, No. 11, pp. 3092-3103, November, (1994).
9. Milojevic, D. J., and Popovic, B. M., "Improved Algorithm for the Deinterleaving of Radar Pulses", *IEEE proceedings. F*, vol. 1, pp. 98-104, february, (1992).
10. Mardia, H. K., "New Techniques for the Deinterleaving of Repetitive Sequences", *IEE proceedings*, Vol. 136, No.4, pp. 149-154, August, (1989).
11. Tasic, J. F., and Zajc, Kosir, A., "Comparison of Some Parallel Matrix Multiplication Algorithms", *Proceedings of 8 Mediterranean Electronical Conference (MELECON Bari)*, pp. 155-158, (1996).
12. Strassen, V., "Gaussian Elimination is Not Optimal," *Numerische Mathematik*, Vol. 13, pp. 354-356, (1969).
13. Keqin, Li, and Victor, Y. pan, "Parallel Matrix Multiplication on a Linear Array with a Reconfigurable Pipelined Bus System," *IEEE Transaction on Computers*, vol. 50, No. 5, pp. 519-525, May, (2001)
14. Shek-Wayne Chan, and Chin-Long Wey, "The Design of Concurrent Error Diagnosable Systolic Arrays for Band Matrix Multiplications," *IEEE Transaction on Computer Aided Design*, Vol. 7, No. 1, pp. 21- 37, January, (1988).

15. Ozimek, I., Verlic, R., and Tasic, J., "Optimal Scheduling for Fast Systolic Array Implementations" *European Design and Test Conference 97*, pp. 620-623,(1997).
16. Milovanovic, I. Z., Tokic, T.I., Stojcev, M .K., Milovanovic, E . I., and NovaKovic, N.M. ," Mapping Matrix Multiplication Algorithm on to Optimal Fault – Tolerant Systolic Array", *IEEE Transaction on Computers* , pp. 711 –714 , (1999).
17. Johnson, K. T., Hurson, A. R., and Shirazi, B., "General-Purpose Systolic Arrays", *IEEE computer Conference*, Vol. 26, No. 11, pp. 20-31, November, (1993).